

تعیین صفات مشخصه فیبرهای نوری کریستال فوتونی ساخته شده با استفاده از روش ضربی شکست مؤثر

فرامرز اسماعیلی سراجی

استادیار، گروه مخابرات نوری، پژوهشکده فناوری ارتباطات، مرکز تحقیقات مخابرات ایران، feseraji@itrc.ac.ir

چکیده

در این مقاله، صفات مشخصه فیبرهای نوری کریستال فوتونی که در چند سال اخیر به طور تجربی در مرکز تحقیقات مخابرات ایران تعیین شدند با نتیجه‌های نظری حاصل از روش تحلیلی ضربی شکست مؤثر مقایسه شده‌اند. فیبرهای کریستال فوتونی مورد مطالعه با سرعت بالا ساخته شده‌اند که در گزارش‌های موجود کمتر به آن توجه شده است. گشودگی عددی و بسامد بهنجار مؤثر فیبرهای نوری کریستال فوتونی به طور تجربی در طول موج‌های کوتاه و بلند اندازه‌گیری شده و با روش ضربی شکست مؤثر مورد تحلیل و مقایسه قرار گرفته‌اند. به طور نظری و تجربی نشان داده شده که در فیبرهای کریستال فوتونی، در طول موج‌های بلند، میدان نور بیشتر در مغزی فیبر و در طول موج‌های کوتاه در غلاف منتشر می‌شود. این پدیده منجر به اثرگذاری مهمی در گشودگی عددی و بسامد بهنجار فیبرهای نوری کریستال فوتونی می‌شود، زیرا این دو پارامتر وابستگی مستقیم به حفره‌های هوا و فاصله بین آن‌ها در نوع فیبرها دارند. نتیجه‌های اندازه‌گیری نشان می‌دهند فیبرهای تولید شده با سرعت بالا دارای تلفات کمتر از 12 dB/km بوده که در مقایسه با مرجع‌های موجود، نتیجه قابل ملاحظه‌ای است. همچنین به کمک مدل نظری نشان داده شده که کمترین فاصله بین حفره‌ها در فیبرهای ساخته شده منجر به کاهش تلفات در فیبرهای کریستال فوتونی می‌شود.

واژه‌های کلیدی

پیش‌سازه، طراحی و ساخت، فیبرنوری حفره‌دار، کریستال فوتونی، ضربی شکست، گشودگی عددی، بسامد قطع، تلفات، فیبرهای هوا سیلیکا

۱- مقدمه

صورت می‌گیرد در حالی که در فیبرهای مغزی هوا، انتشار از طریق اثر باند ممنوعه فوتونی انجام می‌شود^[۳]. در این روش یک ضربی شکست مؤثر برای ناحیه غلاف بدست می‌آید و سپس ویژگی‌های آن مشابه یک فیبر ضربی پله‌ای معمولی، مورد بررسی و تحلیل قرار می‌گیرد و برای تعیین پارامترهای مختلف فیبر کریستال فوتونی از همان رابطه‌های فیبر معمولی ضربی پله‌ای استفاده می‌شود [۵ - ۳]

فیبرهای کریستال فوتونی^۱، از فیبرهای نسل جدید هستند که برای اولین بار در سال ۱۹۹۲ معرفی شدند. این نوع فیبرها، که با نام‌های فیبرهای حفره‌دار^۲ و هوا سیلیکا^۳ نیز معروف هستند، همانند فیبرهای استاندارد مخابراتی دارای مغزی و غلاف هستند با این تفاوت که غلاف آن‌ها از حفره‌های هوا تشکیل شده است [۱ و ۲]. به طور کلی، دو نوع فیبر کریستال فوتونی وجود دارد: مغزی سیلیکا و مغزی هوا. انتشار نور در فیبرهای مغزی سیلیکا از طریق بازتاب کلی

حفره‌ها، از نقطه تماس لوله‌های مویی و جدار داخلی لوله پایه صرف نظر می‌شود. بنابراین، تعداد حفره‌های ایجاد شده در منطقه غلاف در پیش‌سازه در مجموع $121 = 30 + 91$ بdst می‌آید. قطر هر حفره D در پیش‌سازه برابر است با:

$$\left[\left(\frac{19}{2} \right)^2 \pi \right] - \left[91 \times \left(\frac{1.6}{2} \right)^2 \pi \right] = 100.5752 \text{ mm}^2 \quad (3)$$

$$100.5752 / 121 = 0.8312 \text{ mm}^2 \Rightarrow D = 1.02 \text{ mm}$$

قطر متناظر هر حفره در فیبر d و نیز فاصله مراکز دو حفره مجاور Λ برابر استند با:

$$125 / 25 = d / 1.02, \quad d = 5.1 \mu\text{m} \quad (4)$$

$$125 \mu\text{m} / 25 \text{ mm} = \Lambda \mu\text{m} / 1.6 \text{ mm}, \quad \Lambda = 8 \mu\text{m}$$

۳- مرحله‌های ساخت

دو پیش‌سازه با شرایط متفاوت ساخته شدند. در پیش‌سازه اول، لوله‌های مویی با قطرهای داخلی و خارجی به ترتیب در حدود ۲ mm و ۱/۵ mm، به تعداد ۸۵ عدد در ۴ لایه در کنار هم به طور حلقه‌وار قرار داده شدند. یک لوله مویی به قطر تقریبی ۲ mm در مرکز قرار داده شد تا نقش مغزی را ایفا کند. مجموعه لوله‌های مویی در یک لوله محافظت به قطر $19 \text{ mm} \times 25 \text{ mm}$ قرار داده شد تا در حین فرایند کشش شکل آن حفظ شود. برای چسباندن لوله محافظت به مجموعه لوله‌های مویی، از فرایند فرویریزش در دستگاه MCVD استفاده شد. در پیش‌سازه دوم، قطر لوله‌های مویی به طور تقریبی تا ۳ میلی‌متر افزایش داده شد و مجموعاً ۳۶ عدد لوله مویی در ۳ لایه در حول لوله مرکزی بسته‌بندی شدند [۵ و ۶].

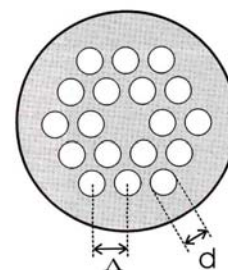
برای کشیدن پیش‌سازه‌های تهیه شده از برج کشش فیبرنوری متداول استفاده شده است. در شروع فرایند، دما در حدود ۱۹۰۰ درجه سانتی‌گراد، که در حد دمای کشش فیبرهای معمولی است، تنظیم شد و پیش‌سازه‌ها با سرعت‌های ۵، ۱۰، ۱۵، ۲۰، ۱۰۰ و ۱۵۰ متر در دقیقه کشیده شدند و دمای کوره در حین کشش تا چند ده درجه کاهش داده شد.

۴- اندازه‌گیری پارامترها و بررسی نتیجه‌ها

برای اندازه‌گیری مشخصات هندسی فیبر، از جمله قطرهای مغزی و غلاف، از روش میدان نزدیک گسیلیده استفاده شده که توسط دستگاه اندازه‌گیری موجود انجام شد. تلفات فیبرها نیز در دو طول موج مخابرات نوری، یعنی $1/3$ و $1/5.5$ میکرومتر، به کمک دستگاه OTDR اندازه‌گیری شد [۵ - ۸].

۲- طراحی پارامترهای ساخت

اگر فیبرنوری کریستال فوتونی را در حالت آرمانی در نظر بگیریم سطح مقطع آن را می‌توان مطابق شکل (۱) نشان داد. برای ساخت چنین فیبرهایی، بسته‌ای از لوله‌های شیشه‌ای مویی در کنار هم به طور حلقه‌وار در لوله شیشه‌ای با قطر مناسب قرار داده می‌شود، به طوری که لوله مویی مرکزی به عنوان مغزی فیبر و سایر لوله‌های مویی و فضای خالی بین آن‌ها غلاف را تشکیل دهد. با کشیدن این پیش‌سازه در یک برج کشش مناسب، فیبر کریستال فوتونی تولید می‌شود [۴].



شکل ۱- سطح مقطع فیبر کریستال فوتونی.

با توجه به شکل (۱)، اگر بخواهیم مطابق استاندارد فیبرهای مخابراتی، قطر مغزی فیبر تولیدی در حدود $8 \mu\text{m}$ میکرومتر و قطر کل آن $125 \mu\text{m}$ میکرون به دست آید، قطر لوله مویی مرکزی x در لوله شیشه‌ای پایه با قطر بیرونی $25 \mu\text{m}$ میلی‌متر و قطر داخلی $19 \mu\text{m}$ میلی‌متر مربوط به پیش‌سازه را تعیین می‌کنیم [۵ و ۶]:

$$125 \mu\text{m} / 25 \text{ mm} = 8 \mu\text{m} / x \text{ mm}, \quad x = 1.6 \text{ mm} \quad (1)$$

اگر سایر لوله‌های مویی مورد نیاز نیز همین اندازه انتخاب شوند، تعداد ۱۱ ردیف لوله‌های مویی در لوله شیشه‌ای پایه قابل بسته‌بندی خواهد بود.

با حذف لوله مویی مرکزی و با احتساب فضای مورد نیاز برای حفره‌های ایجاد شده بین لوله‌های مویی، ۵ ردیف لوله مویی در اطراف لوله مویی مرکزی قرار می‌گیرند، بنابراین با محاسبه به صورت زیر:

$$(2) \quad \text{شماره ردیف لوله‌ها: } \begin{matrix} & 5 & 4 & 3 & 2 & 1 \end{matrix}$$

$$\text{مرکزی: } \begin{matrix} & 1 & 2 & 3 & 4 & 5 \end{matrix}$$

تعداد لوله‌های مویی در هر ردیف:

$$\begin{matrix} & 1 & 6 & 12 & 18 & 24 & 30 \end{matrix}$$

تعداد کل لوله‌های مویی در ۵ ردیف ۹۱ عدد می‌شود و تعداد ردیفهای حفره‌های جانبی، یک ردیف بیشتر است که در ردیف اضافی تعداد همان ۳۰ حفره است، با این تفاوت که اندازه حفره‌ها در ردیف آخر بزرگ‌تر است. برای سهولت از این اختلاف اندازه

۱-۴- بحث

نتیجه‌ها نشان می‌دهند که در فیبر تولیدی با سرعت کشش بیش از ۱۲۰ متر در دقیقه از پیش‌سازه اول، به دلیل مخدوش شدن ساختار فیبر، اندازه‌گیری پارامترها امکان‌پذیر نبوده و در مقابل، در پیش‌سازه دوم این پدیده در سرعت‌های کمتر از ۱۰۰ متر در دقیقه رخ داده است.

از نظر تلفات، کمترین مقدار در فیبر حاصل از پیش‌سازه اول، با سرعت کشش ۱۰ متر در دقیقه بدست آمده است در حالی که در فیبر ساخته شده از پیش‌سازه دوم، سرعت ۱۲۰ متر در دقیقه کمترین تلفات را بدست داده است. مقدار ۸ در پیش‌سازه اول، به دلیل نا منظم بودن جایگاه حفره‌ها، قابل اندازه‌گیری نبوده و در پیش‌سازه دوم کمترین مقدار بدست آمده $13/18$ میکرومتر بوده که در مقایسه با مقدار تئوری، بیش از $1/5$ برابر شده است.

تا کنون ساخت فیبرهای کریستال فوتونی فقط با سرعت کشش پایین گزارش شده است [۴]. نتیجه‌های بدست آمده در این تحقیق بیانگر آن است که کشش با سرعت بالا نیز امکان‌پذیر است و می‌توان فیبرهای کریستال فوتونی با تلفات پایین تولید کرد. تلفات بدست آمده در فیبرهای ساخته شده کمتر از 12 dB/km بوده است.

۵- تحلیل و مقایسه پارامترهای بدست آمده با روش ضربی شکست مؤثر

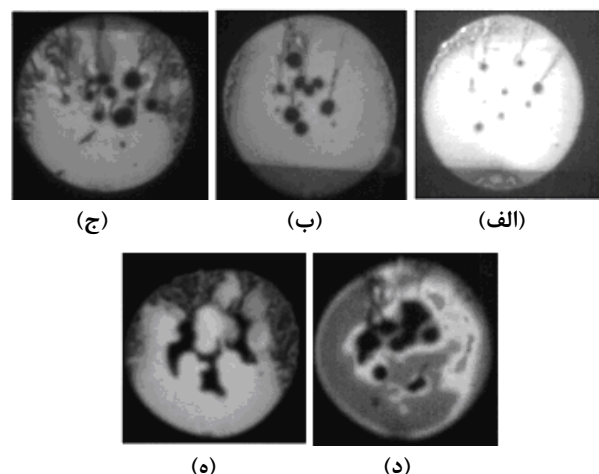
روش ضربی شکست مؤثر^۴ از ساده‌ترین روش‌های موجود برای محاسبه پارامترهای فیبرهای کریستال فوتونی است. در این روش ابتدا در ناحیه غلاف^۵ یک سلول واحد دایره‌ای در نظر گرفته می‌شود و سپس با حل معادله‌های ماکسول در این ناحیه و در نهایت با اعمال شرایط مرزی در آن، مقدار ضربی شکست غلاف و سپس یک ضربی شکست مؤثر برای کل فیبر تعیین می‌شود [۹ و ۱۰].

ویژگی‌های فیبرهای کریستال فوتونی مشابه یک فیبر ضربی پله‌ای معمولی، مورد بررسی و تحلیل قرار می‌گیرد و برای تعیین پارامترهای مختلف فیبر کریستال فوتونی از همان رابطه‌های فیبر معمولی ضربی پله‌ای استفاده می‌شود [۱۱ - ۱۳].

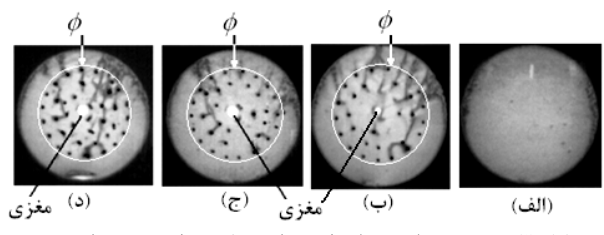
معادله ضربی شکست غلاف پس از حل معادله‌های ماکسول و اعمال شرایط مرزی پیوستگیتابع و مشتق تابع در مرز بین هوا و سیلیکا، بدست می‌آید. حل معادله ماکسول با روش ضربی مؤثر به صورت زیر بدست می‌آید [۸ و ۱۴]:

$$\begin{aligned} \psi &= AI_0(WR), \quad \text{for air hole} \\ &= BJ_0(RU) + CY_0(RU), \quad \text{for silica region} \end{aligned} \quad (5)$$

در شکل‌های (۲) و (۳) به ترتیب تصویرهای سطح مقطع فیبرهای تولیدی از پیش‌سازه‌های اول و دوم نشان داده شده‌اند که با سرعت‌های ۷ مختلف کشیده شده‌اند. نتیجه‌ها نشان می‌دهند که ایجاد حفره‌ها در سطح مقطع فیبر در هر دو حالت وابستگی شدیدی به سرعت کشش پیش‌سازه دارد.



شکل ۲- تصویرهای سطح مقطع‌های فیبرهای تولیدی از پیش‌سازه اول. (الف) $V = 5 \text{ m/min}$, (ب) $V = 10 \text{ m/min}$, (ج) $V = 15 \text{ m/min}$, (د) $V = 20 \text{ m/min}$, (ه) $V = 25 \text{ m/min}$, (ن) $V = 30 \text{ m/min}$.



شکل ۳: تصویر سطح مقطع فیبرهای تولیدی از پیش‌سازه دوم. (الف) $V = 5 \text{ m/min}$, (ب) $V = 10 \text{ m/min}$, (ج) $V = 15 \text{ m/min}$, (د) $V = 20 \text{ m/min}$, $\phi = 82 \mu\text{m}$, $R = 120 \mu\text{m}$, $C = 150 \text{ m/min}$, $Y = 120 \text{ m/min}$, $\phi = 83 \mu\text{m}$, $R = 120 \mu\text{m}$, $C = 150 \text{ m/min}$, $Y = 120 \text{ m/min}$. [۵, ۶]

در پیش‌سازه اول با افزایش سرعت کشش شکش حفره‌ها از حالت دایروی خارج شدند و فاصله بین آن‌ها به هم نزدیک‌تر شده است در صورتی که در پیش‌سازه دوم افزایش سرعت کشش باعث بهبود در ایجاد حفره‌ها شده و در سرعت‌های پایین $5, 10, 15$ متر در دقیقه حفره‌ها ایجاد نشده‌اند. یکی از دلیل‌های اختلاف نتیجه بین کشش دو پیش‌سازه می‌تواند ناشی از اندازه قطر لوله‌های مویی بکار رفته در آن‌ها باشد. خلاصه نتیجه‌های اندازه‌گیری فیبرهای کریستال فوتونی تولید شده از دو پیش‌سازه در جدول (۱) ارائه شده است [۷].

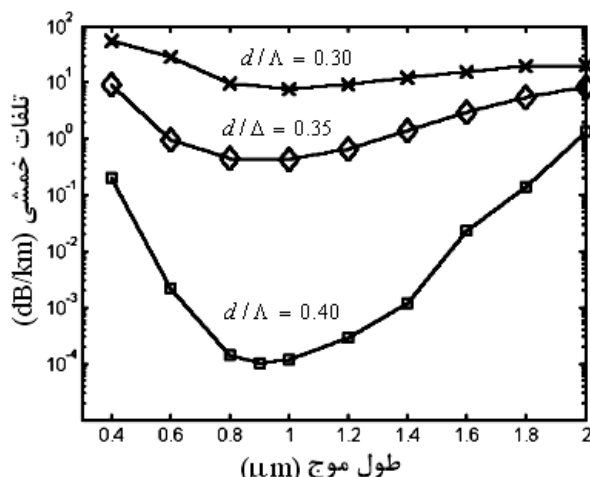
توزیع شدت میدان دور در خروجی فیبر کریستال فوتونی مبتنی بر تحلیل ضریب مؤثر را می‌توان با رابطه زیر محاسبه کرد [۱۱ و ۱۳]:

$$I(\theta) = \begin{cases} \frac{U^2 W^2}{(U^2 - \alpha^2)(W^2 + \alpha^2)} \left[J_0(\alpha) - \alpha J_1(\alpha) \frac{J_0(U)}{U J_1(U)} \right]^2, & \text{for } \alpha \neq U \\ \frac{U^2 W^2}{2V_{\text{eff}}^2} \frac{1}{U J_1(U)} \left[J_0^2(\alpha) + J_1^2(\alpha) \right], & \text{for } \alpha = U \end{cases} \quad (12)$$

که در آن $\alpha = k_0 \rho_{\text{eq}} \sin \theta$ ، $\rho_{\text{eq}} = 0.64 \Lambda$ و شاعع مغزی آن $\Lambda = k_0 \rho_{\text{eq}} \sin \theta$ که در آن $\rho_{\text{eq}} = k_0 \rho_{\text{eq}} \sin \theta$ ، $k_0 = 2\pi/\lambda_0$ و $V_{\text{eff}} = \sqrt{n_s^2 - n_{\text{cl}}^2}$ فاصله بین حفره‌های هوا، U و W پارامترهای فیبر کریستال فوتونی برای V_{eff} معین هستند و با رابطه (۷) تعیین می‌شوند:

۵-۱- تعیین تلفات فیبرهای کریستال فوتونی ساخته شده

در بررسی فیبر کریستال فوتونی پارامترهایی نظری قطر حفره d ، فاصله بین حفره‌ها Λ و کسر پرشدنگی هوا d/Λ در سیلیکا حایز اهمیت هستند. در شکل (۴) تلفات خمی یک فیبر کریستال فوتونی بر حسب طول موج با $d/\Lambda = 2/3 \mu\text{m}$ برای $d/\Lambda = 0.30$ ، 0.35 و 0.40 مختلف ترسیم شده است. در این شکل مشاهده می‌شود که با افزایش کسر d/Λ ، تلفات کل در فیبر بر حسب طول موج کاهش می‌یابد و منحنی تلفات در هر حالت دارای یک کمینه است [۷].



شکل ۴- تلفات خمی بر حسب طول موج.

۵-۲- نتیجه‌های تجربی

پنج قطعه فیبر حفره‌دار از دو پیش‌سازه آماده شده با سرعتهای مختلف تولید شده‌اند. نتیجه‌های اندازه‌گیری تلفات فیبرها و کسر d/Λ با تعیین مقدار میانگین قطر حفره‌ها و فاصله بین آن‌ها در جدول (۲) ارائه شده‌اند [۵ و ۷].

که در آن J_0 و I_0 تابع‌های بسل هستند. با اعمال شرایط مرزی در معادله‌ها خواهیم داشت:

$$\begin{aligned} A I_0(W) &= B J_0(U) + C Y_0(U) \\ B &= \frac{A}{J_0(U)} \left[I_0(W) - \frac{C}{A} Y_0(U) \right] \end{aligned} \quad (6)$$

که در آن U و W به صورت زیر تعریف می‌شوند:

$$U = k_0 a \sqrt{n_s^2 - n_{\text{cl}}^2} \quad (7)$$

$$W = k_0 a \sqrt{n_{\text{cl}}^2 - n_a^2}$$

که در آن n_s و n_{cl} به ترتیب ضریب شکست مغزی و غلاف، a شاعع مغزی، $k_0 = 2\pi/\lambda_0$ و λ_0 طول موج نور در خلاء است. ضریب‌های ثابت A ، B و C با اعمال شرایط مرزی با رابطه‌های زیر بدست می‌آینند:

$$\begin{aligned} A W I_1(W) &= -\frac{A}{J_0(U)} \left[I_0(W) - \frac{C}{A} Y_0(U) \right] - C U Y_1(U) \\ C &= \frac{A \left[W I_1(W) J_0(U) + U J_1(U) I_0(W) \right]}{U \left[J_1(U) Y_0(U) - J_0(U) Y_1(U) \right]} \end{aligned} \quad (8)$$

$$B = \frac{A}{J_0(U)} \left\{ I_0(W) - \frac{Y_0(U) \left[W I_1(W) J_0(U) + U J_1(U) I_0(W) \right]}{U \left[J_1(U) Y_0(U) - J_0(U) Y_1(U) \right]} \right\}$$

برای محاسبه تلفات از همان رابطه‌های تلفات فیبر معمولی با ضریب شکست مؤثر و ضریب شکست غلاف استفاده می‌شود که براساس رابطه زیر است [۱۴]:

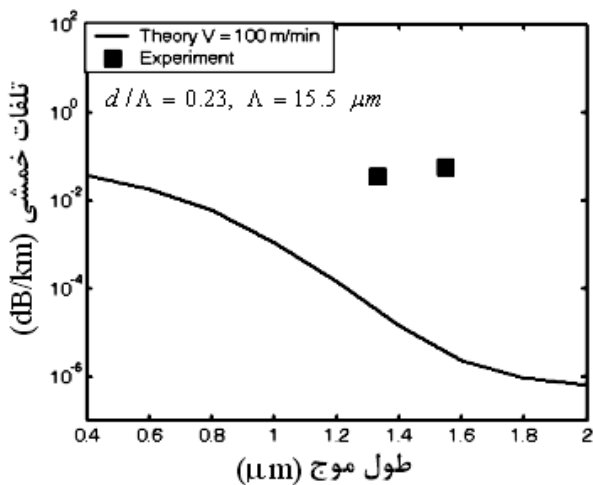
$$\alpha(\text{dB/m}) = 4.343 \left(\frac{\pi}{4 \rho_{\text{eq}} R_c} \right)^{0.5} \left(\frac{U_{\text{eff}}}{V_{\text{eff}} K_1(W_{\text{eff}})} \right)^2 \left(\frac{1}{W_{\text{eff}}} \right)^{1.5} \times \exp \left(-\frac{4R_c W_{\text{eff}}^3 \Delta_{\text{eff}}}{3 \rho_{\text{eq}} V_{\text{eff}}^2} \right) \quad (9)$$

که در آن R_c شاعع خمی و W_{eff} پارامترهای فیبر، V_{eff} شاعع مغزی و Δ_{eff} اختلاف نسبی مؤثر ضریب شکست بین مغزی و غلاف در فیبر کریستال فوتونی است.

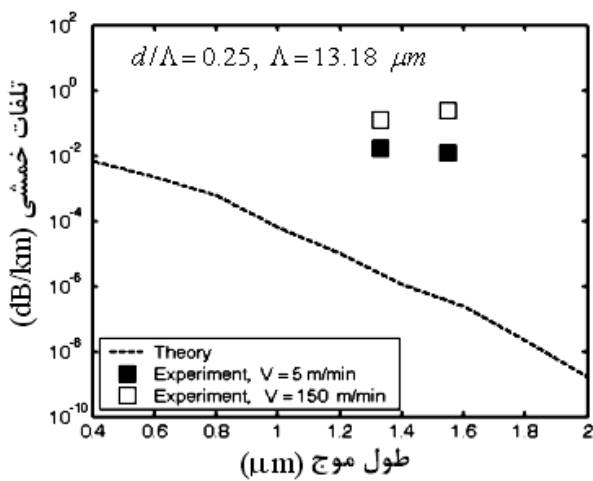
برای محاسبه گشودگی عددی و بسامد مؤثر نیز از رابطه‌های مشابه فیبرهای استاندارد استفاده می‌کنیم [۱۲]:

$$NA = \sqrt{n_s^2 - n_{\text{cl}}^2} \quad (10)$$

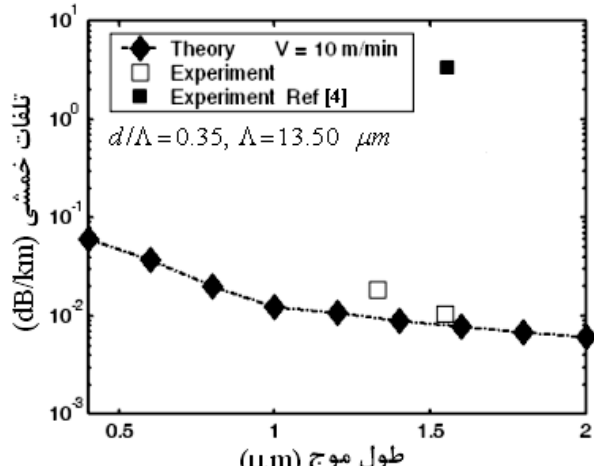
$$V_{\text{eff}} = k_0 \rho_{\text{eq}} \sqrt{n_s^2 - n_{\text{cl}}^2} \quad (11)$$



شکل ۶- تلفات خمی فیبر شماره (۲) بر حسب طول موج و نتیجه های تجربی بدست آمده.



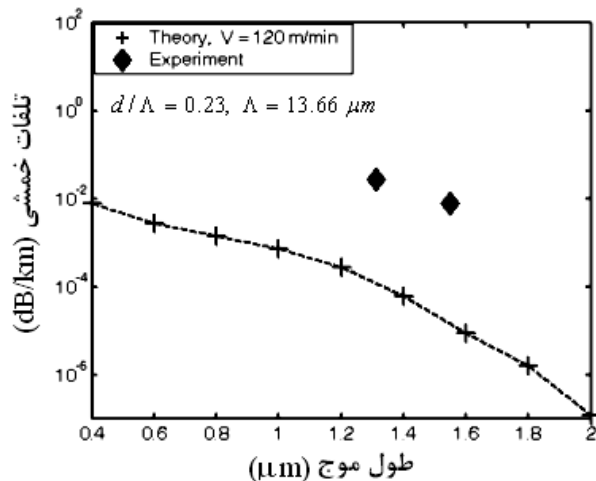
شکل ۷- تلفات خمی فیبرهای (۱) و (۵).



شکل ۸- مقایسه تلفات خمی فیبر (۲) با نمونه مشابه مرجع [۴].

شکل های (۵) و (۶) مقایسه منحنی های تجربی و نظری تلفات خمی بر حسب طول موج مربوط به فیبرهای (۴) و (۳) را نشان می دهند. کسر پرشدگی هوا برای فیبرهای (۳) و (۴) از پیش سازه (۲) برابر است ولی فاصله بین حفره هایشان Λ متفاوت است. فیبر (۴) با Λ کوچکتر، دارای تلفات کمتری نسبت به فیبر (۳) است. همچنین، فیبرهای (۱) و (۵) به ترتیب از پیش سازه های (۱) و (۲) دارای کسر پرشدگی یکسانی هستند و به دلیل برابری فاصله بین حفره ها در این دو فیبر، منحنی های تلفات آن ها برای مقایسه با منحنی نظری در یک محور مختصات در شکل (۷) ترسیم شده اند. با توجه به تصویرهای شکل (۲) مشاهده می شود که در فیبر (۱) یکی از حفره ها در مغزی قرار گرفته است و فیبر فقط دارای یک ردیف حفره در غلاف است [۵ و ۶]. این دو مورد باعث شده که تلفات به مقدار قابل ملاحظه ای در این فیبر بالا بروند و تا حدی از مقدار پیش بینی شده نظری فاصله داشته باشد. همین مورد را در فیبر شماره (۳) در شکل (۳) نیز می توان مشاهده کرد.

از میان فیبرهای ساخته شده بیشترین کسر پرشدگی مربوط به فیبر (۲) است و همان طوری که مقدار نظری پیش بینی می کند کمترین تلفات در طول موج ۱۵۵۰ نانومتر مربوط به همین فیبر است و این در حالی است که این فیبر تنها دارای یک ردیف از حفره است. این امر نشان دهنده آن است که اثر زیاد بودن کسر پرشدگی هوا بر کم بودن تعداد ردیف های حفره غلبه پیدا کرده است. در شکل (۸) منحنی تلفات تجربی با منحنی نظری مقایسه شده اند که تقریباً بر هم منطبق هستند. نتیجه تجربی بدست آمده با نتیجه مشابه در مرجع [۴] نیز مقایسه شده است.



شکل ۵- تلفات خمی بر حسب طول موج و نتایج تجربی بدست آمده از فیبر (۴).

۶- اندازه‌گیری گشودگی عددی، بسامد بهنجار و توزیع شدت میدان فیبرهای کریستال فوتونی

یکی از پارامترهای تعیین کننده در فیبرهای کریستال فوتونی کسر پرشدنگی هوا (d/Λ) در ناحیه غلاف است. در شکل (۹) نمودارهای گشودگی عددی بر حسب طول موج برای $\Lambda=2/3$ و $\Lambda=d/8$ مقدارهای مختلف d/Λ ترسیم شده‌اند.

در طول موج‌های بلندتر، با افزایش نسبت Λ/d ، گشودگی عددی افزایش می‌یابد در حالی که طول موج‌های کوتاه‌تر عکس آن اتفاق می‌افتد. به عبارت دیگر، با افزایش ابعاد حفره‌ها، چون درصد هوا نسبت به ماده سیلیکا در غلاف افزایش می‌یابد ضربی شکست غلاف کم می‌شود و بنابراین گشودگی عددی افزایش می‌یابد [۱۵].

در شکل (۱۰)، نمودارهای گشودگی عددی بر حسب Λ/d برای بازه طول موج از $0/6$ تا $1/55$ میکرومتر ترسیم شده‌اند. نمودارها نشان می‌دهند که با افزایش نسبت Λ/d گشودگی‌های عددی متناظر بر حسب طول موج افزایش یافته‌اند. بدین ترتیب با کنترل قطر حفره‌های هوا موجود در غلاف می‌توان گشودگی عددی فیبر را مناسب با کاربرد تغییر داد.

کمیت مهم دیگر مقدار بسامد بهنجار مؤثر V_{eff} است که تک مد بودن طول موج‌های مختلف را در فیبرنوری کریستال فوتونی تعیین می‌کند. در شکل (۱۱)، منحنی‌های V_{eff} بر حسب طول موج با پارامتر Λ/d نمایش داده شده‌اند. مشاهده می‌شود که مقدار V_{eff} نیز تابع کسر پرشدنگی هوا d/Λ است. با تغییر قطر حفره‌های هوا و یا فاصله بین آن‌ها، بازه تک مد بودن فیبر را می‌توان تغییر داد [۱۵].

۶- چیش آزمایش و نتیجه‌های تجربی

برای پیاده‌سازی روش ضربی مؤثر برای اندازه‌گیری NA در فیبر کریستال فوتونی، از چیش آزمایش شکل (۱۲) استفاده کردیم که در آن یک آشکارساز روزنها روى یک مکانیاب میکرونی نصب شده که در سه جهت x ، y و z می‌تواند حرکت کند. نور یک دیود لیزری توسط یک عدسی شیئی با بزرگنمایی $10X$ وارد فیبر می‌شود. در شکل (۱۳) نمودار میدان دور در عرض خروجی فیبر نشان داده شده که با تغییر زاویه θ بدست آمده است.

با داشتن فاصله آشکارساز از انتهای خروجی فیبر (z)، شعاع (r) و تغییر زاویه θ ، گشودگی عددی در نقطه $5/5$ توان خروجی با رابطه $\tan \theta = r/z$ محاسبه می‌شود [۱۲].

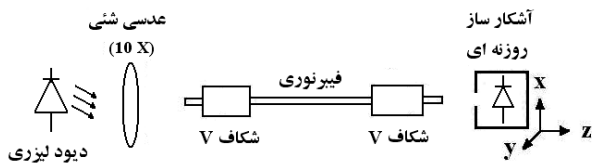
۳-۵- بحث و بررسی نتیجه‌های تجربی

در فیبر شماره (۲) که از نظر مشخصات نسبت به فیبرهای دیگر مطلوب‌تر است، مشاهده می‌شود که افزایش سرعت کشش پیش‌سازه (۱) باعث بزرگ شدن حفره‌ها شده که این خود باعث پایین آمدن تلفات شده است. این امر بیانگر آن است که برای داشتن حفره‌های بزرگ‌تر نیازی به تغییر ابعاد لوله‌های مویین نیست، بلکه با افزایش سرعت کشش این پدیده میسر خواهد بود. فیبر شماره (۵) نسبت به فیبرهای دیگر دارای حفره‌های منظم‌تری است و با برخورداری از سه ردیف کامل حفره‌ها، در ردیف دوم 12 حفره و در ردیف سوم 18 حفره دارد و از این نظر شباهت زیادی به مدل نظری پیدا می‌کند. این مسئله باعث شده است که تلفات آن در حدود تلفات فیبر (۲) قرار گیرد. همین وضعیت در فیبر (۴) نیز مشاهده می‌شود.

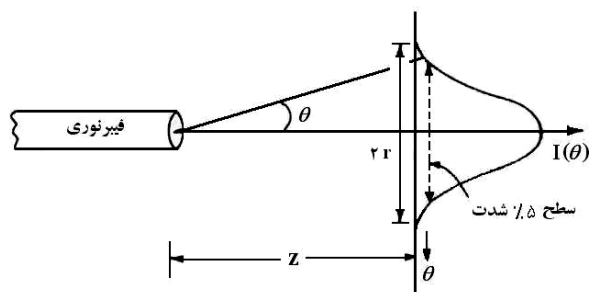
تلفات خمی در فیبر حفره‌دار به صورت یک سهمی است که دارای دولبه در طول موج‌های بلند و کوتاه است و نسبت به فیبر معمولی که تنها دارای یک لبه است، در بازه وسیع تری بکار می‌رود، شکل (۴). لبه اول که در طول موج‌های کوتاه‌تر به وجود می‌آید به این علت است که نور در طول موج‌های کوتاه که در حد ابعاد قطر حفره باشد، به شدت در داخل حفره‌ها تضعیف می‌شود. به همین دلیل اختلاف ضربی شکست بین مغزی و غلاف بسیار کاهش یافته و باعث افزایش تلفات و ایجاد لبه اول می‌شود. لبه دیگری که در انتهای سهمی دیده می‌شود مشابه فیبر معمولی است.

کمینه سهمی تلفات در نزدیکی $1/2$ رخ می‌دهد. در فیبرهایی که Λ بزرگی دارند بازه وسیع تری برای استفاده وجود دارد. به طور مثال، اگر بخواهیم که کمینه تلفات در این فیبر با سایر ادوات میکرومتر طراحی کرد.

برای نتیجه‌گیری در مورد دو نوع پیش‌سازه ساخته شده می‌توان گفت که پیش‌سازه (۲) سطح مقطع غلاف را در مقایسه با پیش‌سازه (۱) کامل‌تری می‌پوشاند و از این جهت ارجحیت بیشتری به پیش‌سازه (۱) دارد. از سوی دیگر در پیش‌سازه (۱) در سرعت‌های پایین‌تر، فیبر با حفره‌های بزرگ‌تر بدست آمده که در کاهش تلفات کمک قابل ملاحظه‌ای کرده است. شاید بتوان گفت در مجموع تلفیقی از این پارامترهای ساخت این دو پیش‌سازه ما را به مدل مطلوبی که هو دو امتیاز را دارا باشد رهنمون می‌سازد.

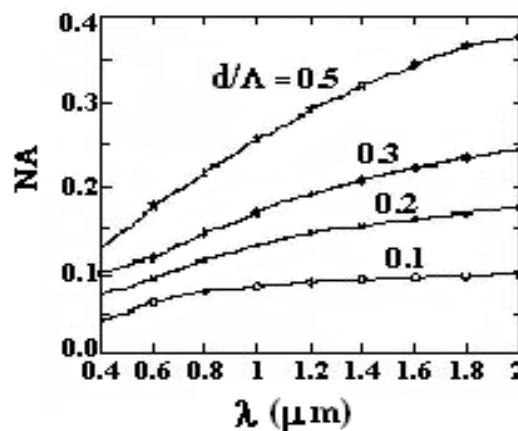


شکل ۱۲- چینش آزمایش برای اندازه‌گیری گشودگی عددی فیبرنوری کربستال فوتونی [۱۳ و ۱۵].

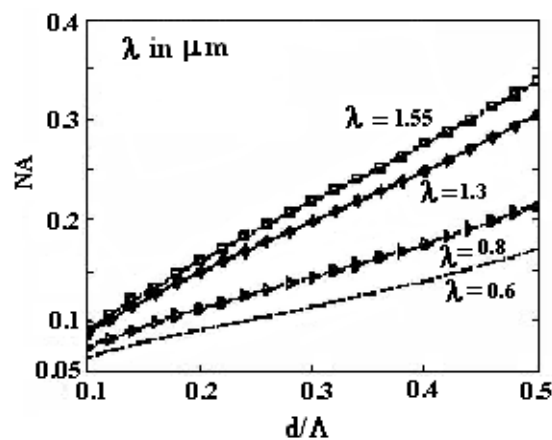


شکل ۱۳- نمودار میدان دور و زاویه پرتو خروجی از فیبر تحت آزمایش [۱۳, ۱۵]

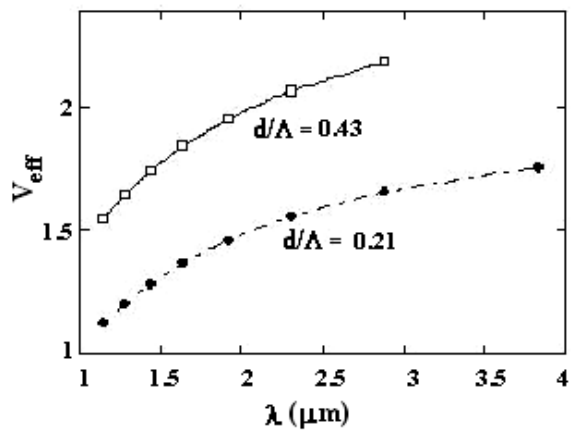
با استفاده از چینش آزمایش شکل (۱۲)، اندازه‌گیری گشودگی عددی دو فیبرکربستال فوتونی شماره ۳ و ۴ در راستای x و y انجام گرفته است [۵ و ۷]. با داده‌های ثبت شده منحنی‌های تجربی گشودگی عددی دو فیبر در شکل‌های (۱۴) و (۱۵) بر حسب طول موج ترسیم شده‌اند و هر یک را با منحنی نظری مطابق با رابطه (۱۰) مقایسه کرده‌ایم. منحنی‌های با خط پیوسته نمودارهای نظری هستند. مطابق پیش‌بینی‌های نظری، عملاً با افزایش طول موج، گشودگی‌های عددی فیبرهای مورد مطالعه نیز افزایش یافته‌اند. شکل‌های (۱۶) و (۱۷) بسامد بهنجار مؤثر این دو فیبر را به‌طور تجربی (نقطه‌های توپر) و نظری (خط پیوسته) نشان می‌دهند. مبتنی بر توزیع شدت میدات دور در رابطه (۱۲)، در نتیجه‌های آزمایش‌های انجام شده مشاهده شده که در طول موج‌های کوتاه، شدت نور به صورت مدهای نشتشی به داخل غلاف توزیع شده است، در صورتی که در طول موج‌های بلند، نور بیشتر داخل مغزی محصور شده است. این پدیده بر اساس داده‌های اندازه‌گیری برای طول موج ۶۳۳ و ۱۳۱۰ نانومتر در شکل (۱۸) نشان داده شده است [۷ و ۱۵]. چنین پدیده‌ای در مرجع [۴] نیز گزارش شده است.



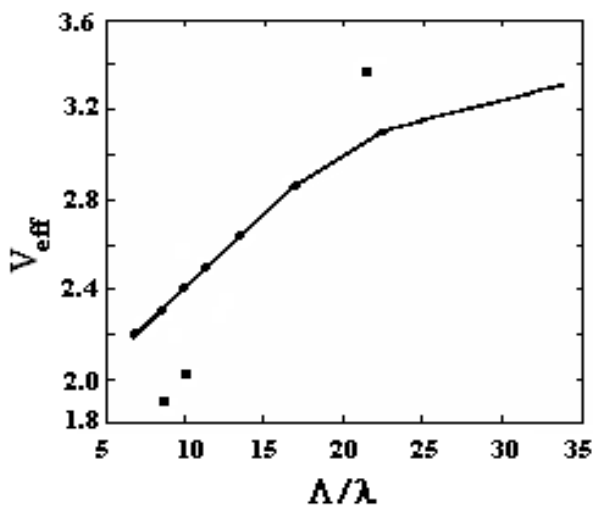
شکل ۹- گشودگی عددی بر حسب طول موج برای d/Λ متفاوت.



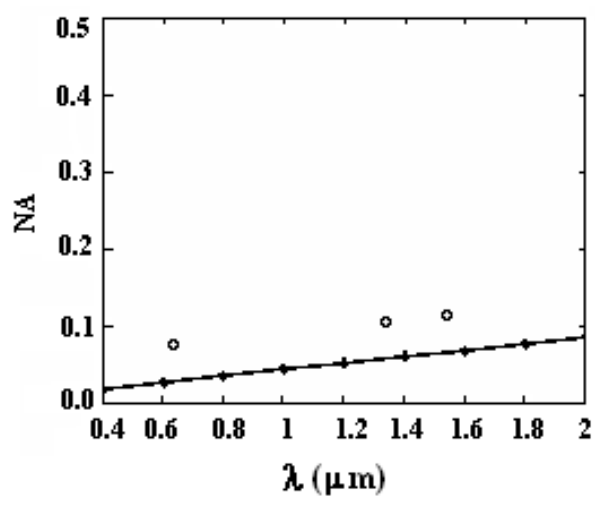
شکل ۱۰- گشودگی عددی بر حسب d/Λ برای طول موج‌های مختلف.



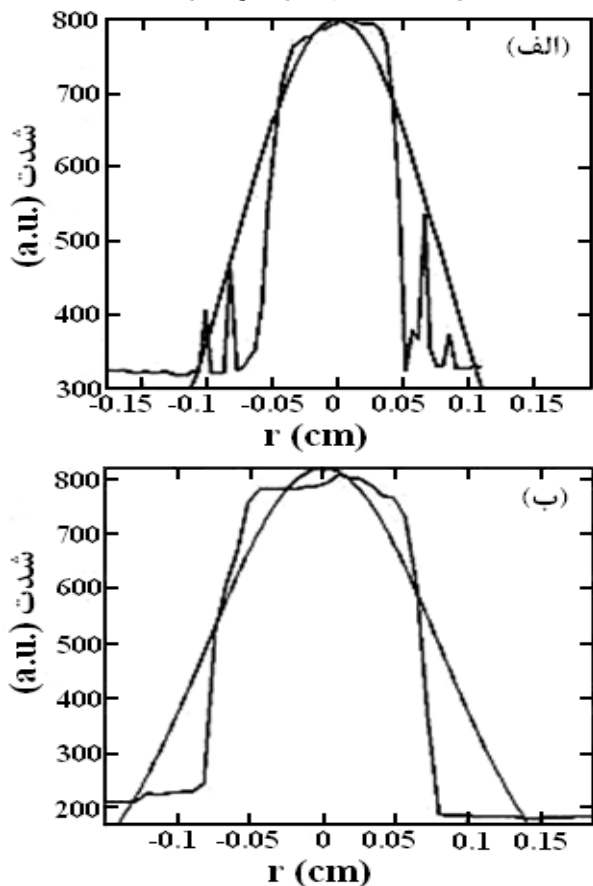
شکل ۱۱- بسامد قطع بر حسب طول موج برای دو مقدار متفاوت d/Λ



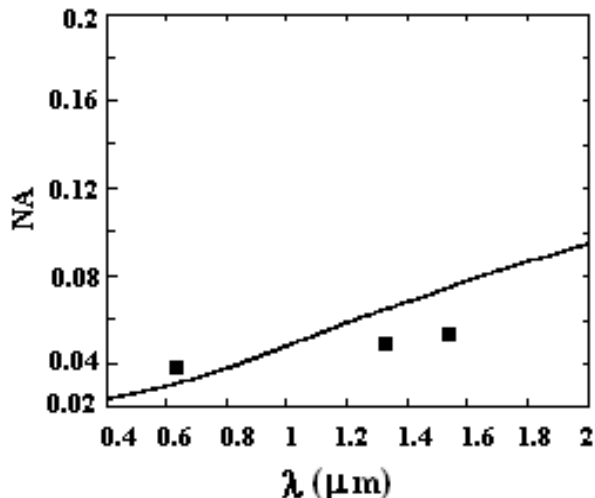
شکل ۱۷- بسامد بهنجار فیبر شماره (۴) [۶].



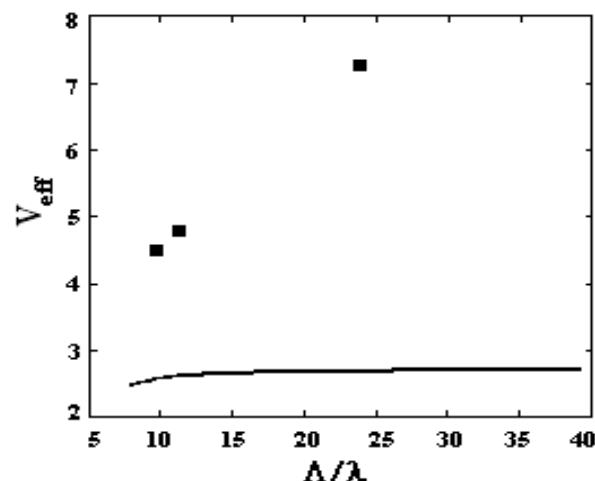
شکل ۱۴- گشودگی عددی فیبر شماره (۴) [۶].



شکل ۱۸- توزیع شدت میدان دور اندازه‌گیری شده (الف) در طول موج ۶۳۳ نانومتر و (ب) در طول موج ۱۳۱۰ نانومتر [۶ و ۱۴].



شکل ۱۵- گشودگی عددی فیبر شماره (۴) [۶].



شکل ۱۶- بسامد بهنجار فیبر شماره (۴) [۶].

۷- نتیجه‌گیری

در این مقاله فیبرهای نوری کریستال فوتونی طراحی و با سرعت بالا ساخته شدند و نتیجه‌های به دست آمده با روش ضرب

طول موج‌های بلند، میدان نور بیشتر در مغزی فیبر و در طول موج‌های کوتاه به صورت مدهای نشتی در غلاف منتشر می‌شود. نتیجه‌های بدست آمده نشان داده که این پدیده منجر به اثرباری مهمی در گشودگی عددی و بسامد بهنجار فیبرهای نوری کریستال فوتونی می‌شود. همچنین نشان داده شده که این دو پارامتر وابستگی مستقیم به حفره‌های هوا و فاصله بین آن‌ها در نوع فیبرها دارند. نتیجه‌های اندازه‌گیری پارامترها توافق خوبی با تحلیل نظری داشته‌اند.

شکست مؤثر تحلیل و مقایسه شده‌اند. نتیجه‌های ساخت نشان می‌دهند که فیبرهای تولید شده با سرعت بالا از کیفیت نسبتاً مطلوبی برخوردار هستند. تلفات بدست آمده کمتر از 12 dB/km بوده که در مقایسه با نتیجه‌های موجود در مراجع، نتیجه قابل ملاحظه‌ای است.

با تحلیل پارامترهای فیبرهای کریستال فوتونی ساخته شده نشان داده شد که کمترین فاصله بین حفره‌ها در فیبرهای ساخته شده منجر به کاهش تلفات در فیبرهای حفره‌دار می‌شود. گشودگی عددی و بسامد بهنجار مؤثر فیبرهای نوری کریستال فوتونی بهطور تجربی در طول موج‌های کوتاه و بلند اندازه‌گیری شده‌اند. بهطور نظری و تجربی نشان داده شده که در فیبرهای کریستال فوتونی، در

جدول ۱- خلاصه نتیجه‌های بدست آمده از فیبرهای کریستال فوتونی تولیدی [۷].

طول فیبر (m)	تلفات (dB/km)		Λ (um)	قطر مغزی (μm)	قطر غلاف (μm)	قطر فیبر (μm)	سرعت کشش (m/mi n)	پیش‌سازه‌ها ی ساخته شده
	در ۱/۳ (μm)	در ۱/۵۵ (μm)						
۱۰۸۴	۱۳۲	۲۴۹	*	*	*	۱۱۹	۵	پیش‌سازه اول
۹۶۰	۱۸/۵۶	۱۰/۶۶	*	*	*	۱۱۹	۱۰	
۴۹۰	۳۵/۴۳	۵۷/۳۶	۱۵/۶۶	-	۸۲	۱۲۴	۱۰۰	پیش‌سازه مود
۸۰۰	۱۷/۷۲	۱۱/۶۳	۱۳/۵۰	۱۴/۵۰	۸۳	۱۲۴	۱۲۰	
۷۳۰	۱۷/۵۹	۱۱/۷۸	۱۳/۱۸	۱۴	۸۲	۱۲۴	۱۵۰	

جدول ۲- نتیجه‌های اندازه‌گیری تلفات فیبرهای کریستال فوتونی ساخته شده.

تلفات در 1550 nm (dB/m)	تلفات در 1300 nm (dB/m)	d/Λ	سرعت کشش (m/min)	پیش‌سازه	فیبرهای تولید شده
۰/۲۴۹	۰/۱۳۲	۰/۲۶	۵	(۱)	فیبر (۱)
۰/۰۱۰۶۶	۰/۰۱۸۵۶	۰/۳۵	۱۰	(۱)	فیبر (۲)
۰/۰۵۷۳۶	۰/۰۳۵۴۳	۰/۲۳	۱۰۰	(۲)	فیبر (۳)
۰/۰۱۱۶۳	۰/۰۱۷۷۲	۰/۲۳	۱۲۰	(۲)	فیبر (۴)
۰/۰۱۱۷۸	۰/۰۱۷۵۹	۰/۲۶	۱۵۰	(۲)	فیبر (۵)

Fiber With Photonic Crystal Cladding”,
Opt. Lett., Vol. 21, No.19, pp. 1547 - 1549,
1996.

[3] T.M. Monro, D.J. Richardson; “**Holey Optical Fibres: Fundamental Properties and Device Applications**”, C. R. Physique, Vol. 4, pp. 175–186, 2003.

۸- مراجع

- [1] P.St. J. Russell, T.A. Birks, J.C. Knight, R. F. Cregan, J.-P. De Sandro; “**Silica/Air Photonic Crystal Fibres**”, Jap. J. Appl. Phys, 37 Suppl. 37-1, pp. 45 - 48, 1998.
- [2] J.C. Knight, T.A. Birks, P.St. J. Russell, D.M. Atkin; “**All-Silica Single-Mode Optical**

Method”, Proc. 12th Optic and Photonics Conf. Iran, Shiraz Univ., Feb 2006.

۹- پی‌نوشت‌ها

- 1- Holey Fiber
- 2- Photonic Crystal Fiber (PCF)
- 3- Air-Silica Fiber
- 4- Effective Index Method
- 5- Cladding

- [4] J.B. Eom, K.W. Park, T.J. Eom, Y. Chung, W.T. Han, U.C. Paek, B.H. Lee; “Transmission and Numerical Aperture Measurement of Photonic Crystal Fiber”, OECC 2001, Post Deadline PDP2.05, 2001.
- [5] F.E. Seraji, A.R. Hassani, N. Granpayeh, M.S. Zabihi, A.R. Bahrampour, H. Amiri, “Design and Fabrication of Holey Fibres”, Proc. 10th Photonics Conf. Iran, Kerman, pp. 64 - 66, 28 - 29 Jan. 2004.
- [6] F.E. Seraji, M. Rashidi, M. Karimi; “Characteristics of Holey Fibers Fabricated at Different Drawing Speeds”, Chinese Opt. Lett., Vol. 5, Issue 3, pp. 131-134, 2007.
- [7] F.E. Seraji, M. Rashidi, M. Karimi; “Analysis and Comparison of Attenuation of Fabricated Holey Fibres by Effective Refractive Index Method”, Proc. 11th Optics and Photonics Conf. Iran, Shahid Beheshti Univ., Tehran, pp. 276-280, 2 - 3 Feb 2005.
- [8] F.E. Seraji, M. Rashidi, V. Khasheie; “Parameter Analysis of a Photonic Crystal Fiber with Raised-Core Index Profile Based on Effective Index Method” Chinese Opt. Lett., Vol. 4, No. 8, pp. 442-445, 2006.
- [9] J. Broeng, D. Mogilevstev, S. E. Barkou, A. Bjarklev; “A New Class of Optical Waveguides”, Optical Fiber Technol., Vol 5, pp. 305 - 330, 1999.
- [10] T.M. Monro, D.J. Richardson, N.G.R. Broderick, P. J. Bennett; “Holey Optical Fibers: An Efficient Modal Model”, IEEE J. Lightwave Technol., Vol. 17, No. 6, pp.1093, 1999.
- [11] S.K. Varshney, R.K. Sinha; “Characterization of Photonic Crystal Fibers from Far Field Measurements”, J. Micro. Optoelectron., Vol. 2, No. 6, Dec 2002.
- [12] N.A. Mortensen, J. R. Folken, P. M. W. Skovgaard, J. Broeng; “Numerical Aperture of Single-Mode Photonic Crystal Fibers”, IEEE Photonics Technol. Lett., Vol. 14, No. 8, pp. 1094-1096, 2002.
- [13] A. Ghatak, K. Thyagarajan, **Introduction to Fiber Optics**, Cambridge University Press, New Delhi, 2002.
- [14] R.K. Sinha, M.P. Sing, S.K. Varshney; “Propagation Characteristics of Photonic Crystal Fibers” J. Optical Commu., Vol. 24, No. 5, pp 192 - 198, 2003.
- [15] M. Rashidi, F.E. Seraji; “Measurement of Numerical Aperture and Normalized Frequency of Photonic Crystal Fibers with Analysis Based on Effective Index